

## Seznam symbolů

$A_1$	plocha vnitřní stěny trubky reaktoru s výplní nebo plocha vnitřní stěny vnější trubky dvoutrubkového reaktoru [ $m^2$ ]	$Q_{12}$	tok tepla konvekce z plochy $A_2$ do reakční směsi [W]
$A_3$	plocha výplní nebo plocha vnitřní stěny vnitřní trubky dvoutrubkového reaktoru [ $m^2$ ]	$Q_{23}$	tok tepla radiači z plochy $A_3$ na plochu $A_4$ [W]
$A_4$	plocha vnitřní stěny vnitřní trubky dvoutrubkového reaktoru [ $m^2$ ]	$Q_{34}$	tok tepla konvekce z plochy $A_3$ do reakční směsi [W]
$C$	konstanta	$R$	poměr průměrů $D_2/D_3$
$d_4$	tloušťka stěny [m]	$T_r$	teplota reakční směsi [K]
$d_t$	tloušťka stěny jednoduché trubky [m]	$T_2$	teplota plochy $A_2$ [K]
$d_v$	tloušťka stěny vnější trubky dvoutrubkového reaktoru [m]	$T_3$	teplota plochy $A_3$ [K]
$D_{ef}$	průměr trubky, která má stejný poměr výměnné plochy k objemu reaktoru s výplní [m]	$V$	celkový objem reaktoru [ $m^3$ ]
$D_{ekv}$	průměr trubky, která má stejný poměr tříci ploch k objemu jako reaktor s výplní [m]	$V_r$	objem reakčního prostoru [ $m^3$ ]
$D_t$	vnitřní průměr jednoduché trubky [m]	$V_s$	objem vnitřní trubky dvoutrubkového reaktoru [ $m^3$ ]
$D_1$	vnější průměr trubky s výplní nebo vnější průměr vnitřní trubky dvoutrubkového reaktoru [m]	$w_1$	rychlosť toku reakční směsi ve vnitřním prostoru dvoutrubkového reaktoru [ $m^{-1}$ ]
$D_2$	vnitřní průměr trubky s výplní nebo vnitřní průměr vnitřní trubky dvoutrubkového reaktoru [m]	$w_2$	rychlosť toku reakční směsi vnitřním prostoru dvoutrubkového reaktoru [ $m^{-1}$ ]
$D_3$	průměr výplní nebo vnější průměr vnitřní trubky dvoutrubkového reaktoru [m]	$\alpha_1$	efektivní koeficient přestupu tepla z plochy $A_2$ do reakční směsi zahrnující přestup tepla sáláním přes plochu $A_3$ [ $W m^{-2} K^{-1}$ ]
$D_4$	vnitřní průměr vnitřní trubky dvoutrubkového reaktoru [m]	$\alpha_{ad}$	koeficient přestupu tepla radiaci [ $W m^{-2} K^{-1}$ ]
$L_d$	připustitelná délka dvoutrubkového reaktoru [m]	$\alpha_4$	koeficient přestupu tepla konvekce zo stěny do reakční směsi v jednoduché trubce [ $W m^{-2} K^{-1}$ ]
$L_t$	připustitelná délka jednoduché trubky [m]	$\alpha_{av}$	koeficient přestupu tepla konvekce zo stěny do reakční směsi v reaktoru s výplní [ $W m^{-2} K^{-1}$ ]
$L_v$	připustitelná délka reaktoru s výplní [m]	$\alpha_{ad}$	koeficient přestupu tepla konvekci z plochy $A_2$ do reakční směsi [ $W m^{-2} K^{-1}$ ]
$\Delta P_d$	tlaková ztráta v dvoutrubkovém reaktoru [Pa]	$\alpha_{ad}$	koeficient přestupu tepla konvekce ve vnitřním prostoru dvoutrubkového reaktoru [ $W m^{-2} K^{-1}$ ]
$\Delta P_t$	tlaková ztráta v jednoduché trubce [Pa]	$\lambda_1$	tepelná vodivost materiálu, z něhož je zhotoven reaktor [ $W m^{-2} K^{-1}$ ]
$\Delta P_v$	tlaková ztráta v reaktoru s výplní [Pa]	$\epsilon$	emisivita slajícího povrchu
$q_{23}$	intenzita toku tepla z plochy $A_3$ na plochu $A_2$ vznášená na jednotku plochy $A_3$ [ $W m^{-2}$ ]		

## Literatura

1. Vašíček E., Veselý P.: Chem. prům. J3, 316 (1983).

## Optimalizace provozu odparky směsi olefinických uhlovodíků

Jan Bartoš, Miloslav Hošťálek,

Chemopetrol, k. ú. o. Výzkumný ústav anorganické chemie, Ústí nad Labem,

Jaroslav Janura,

Vysoká škola chemickotechnologická, Praha

66.048.541  
547.315.1  
661.175.3

Redakcí došlo 17. 6. 1983

V článku je uveden rozbor činnosti odparky olefinických uhlovodíků ve výrobě 1,3-butadienu, jejíž teplosměnné plochy jsou na vnitřní straně trubek zajištěny polymerními díademami. Snižení koeficientu přestupu tepla se kompenzuje zvýšením tepelného gradientu na teplosměnných plochách výměníku. Tím stoupají náklady na odparku olefinických uhlovodíků. V praxi je navržena účelová nákladová funkce, která obsahuje náklady na čistění výměníku  $N_1$ , náklady na dodatečnou poléhu topné páry  $N_1$  a náklady na zvýšené množství chladicí vody  $N_{ch}$ , u jiných aparditů výrobě v důsledku zanzáření odparky. Pro dané ceny topné páry  $C_1$  a chladicí vody  $C_2$  a danou cenu čistění je ukázáno, že zkrácení doby mezi základním zanzářením výměníku a vyfuslému studenou vodou na polovinu lze snížit dodatečné náklady na topnou páru asi na polovinu a na chladici vodu asi o třetinu.

## Úvod

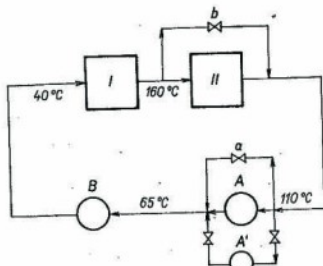
V podmínkách intenzifikace chemického průmyslu, která spočívá mimo jiné i v lepším využívání energií, je nutné zabývat se možnými energetickými úsporami, které může přinést lepší údržba teplosměnných ploch výměníku tepla. Do praxe začínají pronikat netradiční způsoby  $^{(1-3)}$  čištění teplosměnných ploch, které snižují pracnost, jsou rychlejší a mají lepší výsledky. Konstantní tepelný výkon výměníku při zhoršujících

se podmínkách pro přestup tepla (růst tepelného odporu vlivem zanzáření) lze zachovat v případě úměrného zvýšení hnací síly přestupu tepla — teplotního gradientu. To se v praxi řeší zvýšením vstupní teploty topného média, resp. snížením teploty u chladicího média, nebo zvýšením průtoku média. Se zvýšováním teplotního gradientu ve výměníku, v němž dochází ke tvorbě inkrustací chemickou reakcí, roste obvykle rychlosť zanzáření teplosměnných ploch. Důsledkem toho je akcelerace růstu nákladů na činnost výměníku.

Studovali jsme vliv zanášení teploměnných ploch vařáku odparky olefinických uhlíkovodíků na ekonomiku využití tepla ve výrobě 1,3-butadienu.

### Rozbor problému

Při výrobě 1,3-butadienu ze směsi nasycených a nenasycených uhlíkovodíků  $C_4$  se používá extraktivní destilace s relativně malo těkavým rozpouštědlem. Ropouštědlo se v procesu extraktivní destilace zahráje na teplotu  $160^{\circ}\text{C}$  a k jeho ohřevu se spotrebuje značné množství topné páry. Teplota, kterou bylo rozpouštědlo dodáno topnou párou, je v této části (asi 85 %) rekuperováno systémem výměnníku tepla (obr. 1). Jako poslední člen systému rekuperace tepla je zařazen vařák odparky směsi nasycených a nenasycených uhlíkovodíků  $C_4$  (A). Do tohoto vařáku přichází rozpouštědlo a teplota  $110^{\circ}\text{C}$ , vystupující z něj a teplota  $60^{\circ}\text{C}$ . Po smíšení rozpouštědla prošlého výměníkem (A) s rozpouštědlem, které prošlo obchvatem (a) výměníku (A), čini teplota rozpouštědla  $65^{\circ}\text{C}$ . Ropouštědlo o této teplotě je vedeno do vodního chladiče (B), v němž se ohřál na teplotu  $40^{\circ}\text{C}$  a s touto teplotou je opětovně technologicky využíváno.



Obr. 1. Schéma cirkulace rozpouštědla ve výrobě  
I - extraktivní destilace; II - výměník tepla; A, A' - vařák od-  
parky olefinické směsi; B - chladič

Teploměnná plocha vařáku (A) je ze strany vroucí olefinické směsi zanášena polymernimi úsadami, které zhoršují prostup tepla ve výměníku. To ve svých důsledcích znamená, že je nutné uzavřít obchvat (a) a zvyšovat tak průtok rozpouštědla vařákuem (A). Jestliže již zvýšit průtok rozpouštědla výměníkem (A) nestačí, je nutné snižovat tepelný výkon na předřazených výměničích tepla, a tak zvyšovat vstupní teplotu rozpouštědla nad východních  $110^{\circ}\text{C}$ . Snižení výkonu zmíněných výměníků tepla je zabezpečováno pootočením obchvatu na straně topného médií (b) a toto snížení musí být ihned kompenzováno zvýšeným výkonem suplujících zdrojů tepla (nízkotlaké pára) v této části výroby.

Témoto zásahu se teplota rozpouštědla přicházejícího do chladiče (B) zvyšuje z původní hodnoty  $65^{\circ}\text{C}$  až na teplotu vyšší než  $95^{\circ}\text{C}$  a teplota obsažená v rozpouštědle je neefektivně odváděno do chladiče vody, ježíž průtok je nutné rovněž zvyšovat.

Cílem předložené práce bylo nalézt optimální dobu výměny zanešeného čvářáku (A) za jeho studenou zálohu ('A') tak, aby součet nákladů na čistění výměníku a nákladů na kompenzaci ekonomicky nevyužitého tepla (vznikající tím, že do chladiče (B) vstupuje rozpouštědlo o teplotě vyšší než  $65^{\circ}\text{C}$ ) a zvýšených nákladů na odvod nevyužitého tepla chladič vody byl minimální.

### Theoretická část

Účelová nákladová funkce celkových denních nákladů  $N$  spojených s provozem (zanášením) vařáku (A) má tvar

$$N = N_d + N_t + N_{ch} \quad (1)$$

kde  $N$  — celkové náklady ( $\text{Kčs den}^{-1}$ ),  $N_d$  — náklady na čistění,  $N_t$  — náklady na nevyužité teplotu,  $N_{ch}$  — náklady na zvýšenou dodávku chladiči vody.

Hledáme dobu  $t$  od počátku provozu vařáku (A), v níž účelová nákladová funkce dosahuje minimální hodnoty.

### Náklady na čistění

Zanešená trubkovnice vařáku je čistěna tak, že po odstavení výměníku se do jeho pláště zavede středotlaká pára a polymer je z trubek částečně odtažen. Trubkovnice je potom vymýta z pozice a pára je zavedena do trubkového prostoru. Působením tepla dojde za přítomnosti vzduchu k zesírování elastického polymeru na křehkou hmotu, která je z trubek odstraňována tlakovou vodou a mechanicky působením. Celá operace je relativně volně pracná a zdlouhavá. Náklady na čistění trubkovnic výměníku byly odhadnutý na 46 000 Kčs, z toho činí 16 000 Kčs náklady na vlastní čistění tlakovou vodou, 30 000 Kčs představují náklady na použitou středotlakou páru.

Denní náklady na čistění výměníku lze vyjádřit vztahem

$$N_d = 46\ 000 \text{ Kčs/t} \quad (2)$$

kde  $t$  — počet dní provozování výměníku.

### Náklady na nevyužité teplo rozpouštědla

Z provozních záznamů vyplývá, že současně s růstem teploty rozpouštědla před chladičem (B) roste spotřeba nízkotlaké páry v extraktivní destilaci. Nevyužité teplo lze tedy vyjádřit násobkem ceny 1 GJ nízkotlaké páry (bez uvažování tepelných ztrát). Pro denní náklady na nevyužité teplo rozpouštědla proto platí

$$N_t = \left( \sum_{i=1}^t (T_i - 65) \cdot c_p \cdot M_i \cdot C_1 \cdot 10^{-6} \right) / t \quad (3)$$

kde  $T_i$  — střední teplota rozpouštědla na vstupu do chladiče (B) v  $i$ -té den [ $^{\circ}\text{C}$ ]

$c_p$  — střední tepelná kapacita rozpouštědla [ $\text{kJ kg}^{-1} \text{K}^{-1}$ ]

$M_i$  — průtok rozpouštědla v  $i$ -té den [ $\text{kg den}^{-1}$ ]

$C_1$  — cena 1 GJ nízkotlaké páry [Kčs]

$t$  — počet dní provozování výměníku (A)

Z rovnice (3) plyne, že za nevyužité teplo pokládáme pouze to teplotu rozpouštědla dané rozdílem mezi teplotou rozpouštědla před chladičem (B) v  $i$ -té den

a teplotou rozpuštědla na počátku provozování výměníku (A), která činí 65 °C.

#### Náklady na zvýšenou dodávku chladicí vody

Ve výrobě není sledován průtok chladicí vody jednotlivými chladicími aparátami. Pro výpočet průtoku chladicí vody chladicím (B) jsme použili jednoduchý model, který předpokládá, že součinitel prostupu tepla ve výměníku zůstává konstantní pro různé průtoky médií, mezi nimiž dochází k výměně tepla. Pro konstantní plochu výměníku platí

$$k \cdot F = \dot{Q}/(\Delta t)_{ls} = \dot{Q}^0/(\Delta t)_0 \quad (4)$$

kde  $k$  — součinitel prostupu tepla [ $\text{W K}^{-1} \text{m}^{-2}$ ]

$F$  — teploměrná plocha [ $\text{m}^2$ ]

$\dot{Q}$  — tepelný výkon výměníku [W]

$(\Delta t)_{ls}$  — logaritmický středový tepelný spád výměníku [K]

Horním indexem <sup>0</sup> značíme projektované hodnoty.

Zde je ovšem na místě připomenout, že model vyjadřující rovnici (4) přísluší danému výměníku poňekd méně příznivé vlastnosti než vyplývají z exaktního přístupu řešení sdílení tepla. Zvyšováním průtoku chladicího média (růst Reynoldsova kritéria) se totiž zároveň zvyšuje součinitel prostupu tepla  $k$ .

Uvažujeme pro jednoduchost pro výpočet  $(\Delta t)_{ls}$  vztah platný pro prototypový výměník

$$(\Delta t)_{ls} = (\Delta t_1 - \Delta t_2)/(\ln \Delta_1 - \ln \Delta_2) \quad (5)$$

kde  $\Delta t_1$  a  $\Delta t_2$  jsou rozdíly teplot médií na koncích výměníku. Pro tepelný výkon  $\dot{Q}_i$  chladicí (B) v  $i$ -té den platí

$$\dot{Q}_i = \dot{m}_i \cdot c_p \cdot (T_i - 40) \quad (6)$$

kde  $\dot{m}_i$  — průtok rozpuštědla v  $i$ -té den [ $\text{kg s}^{-1}$ ]

$c_p$  — střední tepelná kapacita rozpuštědla [ $\text{kJ kg}^{-1} \text{K}^{-1}$ ]

$T_i$  — teplota rozpuštědla na vstupu do chladicího v  $i$ -té den [°C].

Pomocí vztahu (4) lze dopočítat  $(\Delta t)_{ls}$ , kde za  $\dot{Q}^0$  a  $(\Delta t)_0^0$  jsme dosadili projektované údaje, za  $\dot{Q}$  hodnoty vypočtené z (6). Po danou vstupní teplotu chladicí vody, která je známá, lze z hodnoty  $(\Delta t)_{ls}$  dopočítat výstupní teplotu chladicí vody a průtok vody dopočítat podle vztahu (7)

$$\dot{m}_{v,i} = \dot{Q}_i / (c_p \cdot \Delta t) \quad (7)$$

kde  $\dot{m}_{v,i}$  — průtok chladicí vody v  $i$ -té den [ $\text{kg s}^{-1}$ ]

$c_{p,v}$  — střední tepelná kapacita vody [ $\text{kJ kg}^{-1} \text{K}^{-1}$ ]

$\Delta t_i$  — rozdíl teplot vody na vstupu a výstupu z chladicího (B) [°C]

$\dot{Q}_i$  — tepelný výkon chladicí (B) [W]

Theoretickou spotřebu chladicí vody  $\dot{m}_{v,i}$  v  $i$ -té den lze spočítat tak, že za  $\dot{Q}_i$  dosadíme

$$\dot{Q}_i = \dot{m}_i \cdot c_p \cdot (65 - 40) \quad (8)$$

Pro dodatečné náklady na chladicí vodu potom plyne v čase  $t$  vztah

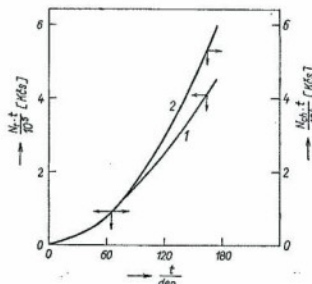
$$N_{ch} = \left( \sum_{i=1}^t (\dot{m}_{v,i} - \dot{m}'_{v,i}) \cdot 3,6 \cdot 24 \cdot C_s \right) / t \quad (9)$$

kde  $C_s$  — náklady na 1 t chladicí vody [Kč/t].

#### Výsledky a diskuse

Byly zpracovány provozní záznamy dvou období zanášení teploměrných ploch vařáku (A). První období činilo 176 provozních dnů, druhé období 136 provozních dnů.

Příklad růstu nákladů na páru a růstu dodatečných nákladů na chladicí vodu pro první období je uveden na obrázku 2. Pro smadnější orientaci jsou na obrázku vyneseny místo denních nákladů  $N_t$  a  $N_{ch,t}$  jejich integrované hodnoty, tj. sumy zvýšených nákladů na páru a dodatečných nákladů na chladicí vodu od počátku provozu výměníku (A) do daného dne. Z obrázku je zřejmé, že náklady na páru představují rozhodující položku rádové prevyšující dodatečné náklady na chladicí vodu. Obdobný výsledek byl získán i pro druhé období. Z tohoto pohledu se zdá být použitý model pro výpočet průtoku chladicí vody, který nebere v úvahu geometrické uspořádání chladicí (B) ani změny součinitelů prostupu tepla v závislosti na reologii chladicí vody, jako dostatečný.



Obr. 2. Růst nákladů na topnou páru (1) a chladicí vodu (2) v závislosti na čase  $t$

Podle použitého modelu chlazení [vztah (4)] vzrostla spotřeba chladicí vody ke konci pracovního cyklu, kdy teplota rozpuštědla stoupala z 65 na 95 °C, asi pětkrát. To je zřejmě o něco vyšší údaj než odpovídá exaktěmu řešení chladicí, což ovšem nemůže podstatným způsobem ovlivnit průběh nákladové funkce (1).

Průběh nákladové funkce definované vztahem (1) pro obě sledovaná období je značně na obrázku 3. Z obrázku je patrné, že nákladová funkce má relativně velmi ploché minimum; pro první období mezi 50. až 60. dnem od počátku provozování vařáku (A) s denním nákladem  $N \doteq 2000$  Kčs/den, pro druhé období mezi 80. až 90. dnem s denním nákladem  $N \doteq 1200$  Kčs/den.

Z výševedeného vyplývá, že z hlediska optimálního využití energie obsažené v rozpuštědle a nákladů na čistění výměníku by měl být vařák (4) odparky olefinických uhlovodíků  $C_s$  méněn za výčíštěnou studenou zálohu mezi 60. a 80. dnem provozu výměníku. Jestliže vezmeme v úvahu, že v prvním období pro 176. den provozu činí  $N \doteq 3000$  Kčs/den, zjištujeme, že celková výše nákladů pro zámenu zanášeného vý-

měnku za vyčítanou studenou zálohu dvakrát za rok dosáhne (pro fond pracovní doby 8000 h) hodnoty asi 900 000 Kčs. Při snížení délky provozní periody na 60 dní (tj. do oblasti, v níž se nachází minimum ná-

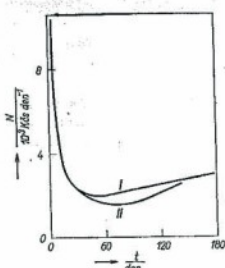
kladové funkce) dosáhnu roční náklady pro  $N = 2000$  Kčs/den hodnoty asi 600 000 Kčs. Aplikační výsledků optimalizační analýzy by se tedy mohly snížit celkové náklady (zejména náklady na topnou páru) takřka o 33 % z množství, které je nutné do výrobní dodávat navíc pro zanášení teploměrných ploch.

### Závěr

Předložená práce se pokusila demonstrovat na praktickém příkladě dlouhou dobu známé souvislosti mezi zanášením teploměrných ploch výměníku tepla a zvýšenými náklady na topnou, resp. ohladit média. K tomu, aby bylo možné snižovat náklady vznikající zanášením teploměrných ploch výměníku tepla, je zapotřebí hledat a používat takové metody čistění výměníků, které umožní jejich snadnou aplikaci v praxi, přičemž náklady na čisticí operaci musí být co nejménší.

### Literatura

- Van Matre J.: Hydrocarbon Process. 56 (7), 115 (1977). —
- Fraboulet B.: Pet. Tech. 271, 45 (1980). — 3. Callahan J. W., Lanningham G. R.: US pat. 3 850 741 (1974); CA 82, 191 124 s.



Obr. 3. Průběh nákladové funkce N  
I - první období; II - druhé období

## Vliv olova v surovině na korozi a nauhličení pyrolýzního konstrukčního materiálu

Hanuš Táma, Miloslav Vyklícký,  
Státní výzkumný ústav materiálu, Praha,  
Emil Hamouz,  
Chemické závody ČSSR, Litvínov

620.192.56:669.5-194

Redakci došlo 5. 9. 1983

Znečištění pyrolýzní suroviny malým množstvím olova může ovlivnit korozní stabilitu vysokolegovaných konstrukčních materiálů. Byl studován vliv PbO při teplotách 800 až 1100 °C u dvou vysokolegovaných materiálů. V oxidační atmosféře při odstraňování grafitického povlaku v trubkách způsobuje PbO silnou korozi, ježíž rozsah je závislý na teplotě. V redukčním prostředí malé množství olova v surovině prakticky neovlivňuje míru nauhličení ani usazování uhlíku.

### Úvod

Konstrukční vysokolegované materiály používané pro pyrolýzu dobré odolávají teplotám kolem 1000 °C na vzdachu, tj. v oxidační atmosféře, avšak v redukční atmosféře uhlíkovitku s vysokou aktivitou uhlíku se běžně stěny pyrolýzních trubek nauhličují. To vede ke změně struktury materiálu, ke zvětšení objemu nauhličeného pásmá, což zhorší mechanické vlastnosti i konečně k rozrušení trubkového systému. Současně ovšem působí řada dalších vlivů, především namáhání při vysokých teplotách. Vliv nauhličení a jeho podmínky byly podrobne sledovány<sup>1-3</sup>.

Zivotnost trub pro pyrolýzu však mohou ovlivňovat i případné nečistoty ve zpracovávané surovině. Z nečistot v surovině byl sledován vliv síry, resp. H<sub>2</sub>S a bylo zjištěno, že síra v surovině snižuje míru nauhličení. U olova se předpokládá, že se při pyrolýze projeví negativně, ale jeho vliv dosud nebyl objasněn. Olovo se do suroviny může dostat jako nečistota ze zpracovávané ropy, ale i kontaminací přepravních nádob tetramethylololem a tetraethylololem současně s jistým množstvím halogenovaných uhlíkovitků. Provozně se předpokládají obsahy olova ve vsazované surovině do 50 ppb.

Při pyrolýze se na stěnách trubek usazuje uhlík ve formě tvrdého (grafitického) povlaku, který brání přestupu tepla, a tím vede ke zvyšování teploty trub. Současně se zužuje světlost trub. Dalším nepříznivým působením je nauhličování vnitřního povrchu trub, které způsobí probíhá velmi rychle. Nauhličování trubek z vnitřní strany je závislé na předcházejících podmínkách výrobního procesu a dodržování postupu při odstraňování usazeného uhlíku. Nauhličování je rovněž závislé na kvalitě povrchu, který musí být co nejhladší (vnitřní povrch se opracovává). Vhodné je slabé povrchové oksidování před zahájením vsazování uhlíkovitků.